

LANCÉ

Servicio Clima Espacial

Reporte Semanal



Reporte semanal: del 24 al 30 de abril del 2020

CONDICIONES DEL SOL

Regiones activas: 3.

Hoyos coronales: 3. Dos hoyos coronales en los polos y otros sobre el disco.

Fulguraciones solares: 0

Eyecciones de masa coronal: 1. Eyección lenta asociada con la región activa 12761.

CONDICIONES DEL MEDIO INTERPLANETARIO

No se registraron regiones de interacción.

CONDICIONES DE MAGNETÓSFERA

Índice K local: no se registraron perturbaciones significativas del campo magnético.

Índice Dst: no se registraron alteraciones significativas en los índices Dst y ΔH .

CONDICIONES DE LA IONOSFERA

No se registraron variaciones significativas.

Pronóstico semanal: del 1 al 7 de mayo del 2020

PRONÓSTICOS

Viento solar: Ambiente solar terrestre dominado por corrientes de viento solar promedio con velocidades entre 300 y 400 km/s. No se pronostica el arribo de ninguna EMC.

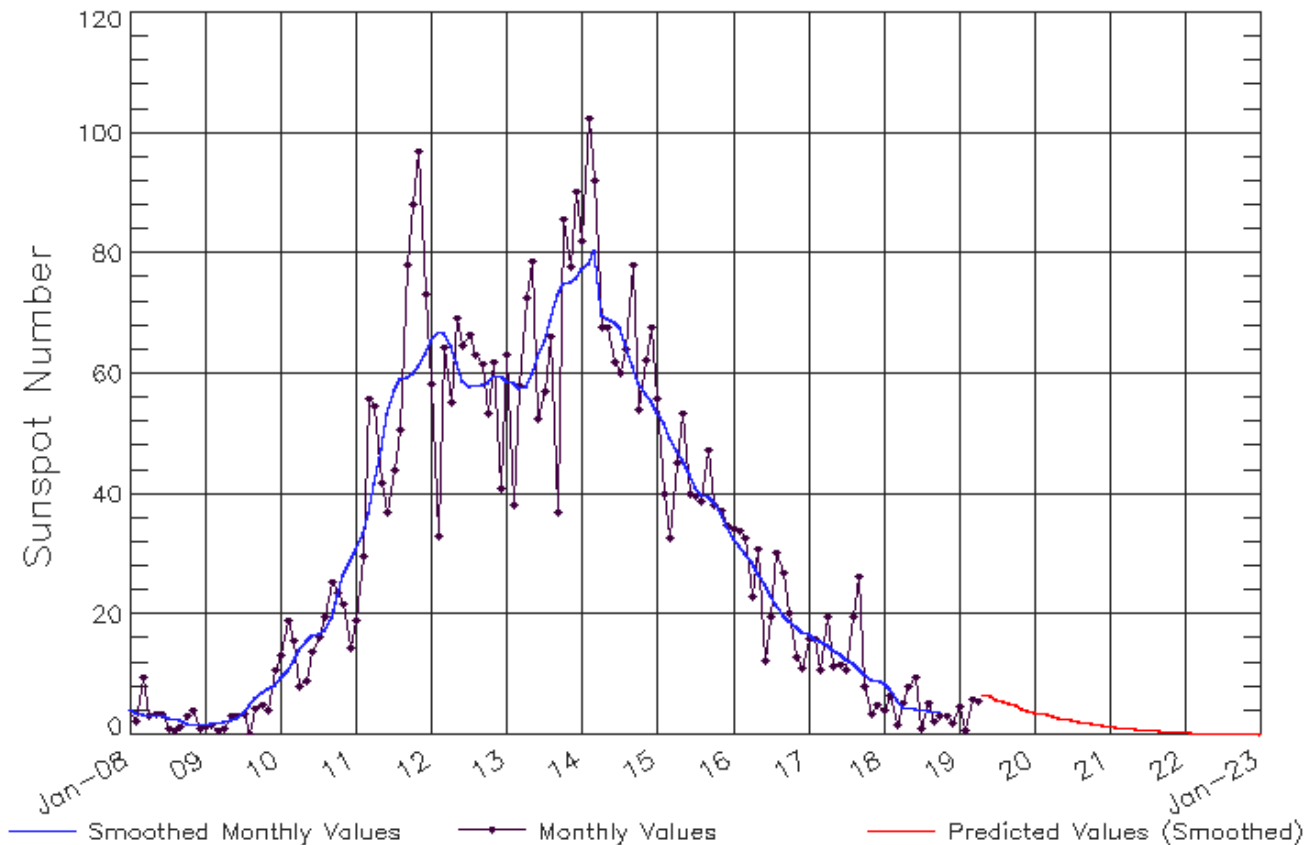
Fulguraciones solares: No se esperan fulguraciones.

Tormentas geomagnéticas: baja probabilidad de tormentas geomagnéticas.

Tormentas de radiación solar: Baja probabilidad de tormentas.

Ciclo de manchas solares y la actividad solar

ISES Solar Cycle Sunspot Number Progression
Observed data through Apr 2019



Updated 2019 May 6

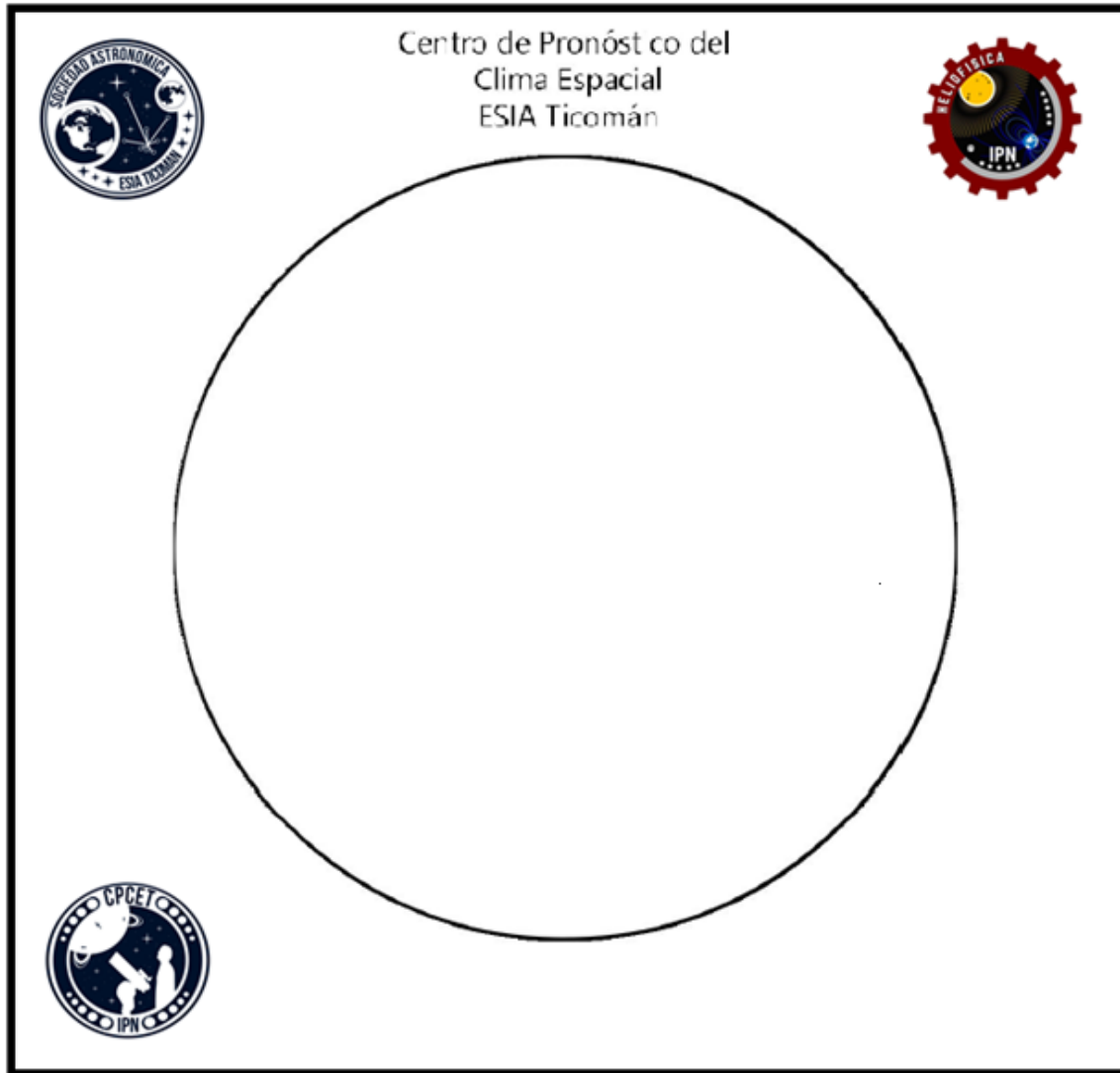
NOAA/SWPC Boulder, CO USA

<http://www.swpc.noaa.gov/products/solar-cycle-progression>

La figura muestra el conteo del número de manchas solares desde enero del 2000.

Entre más manchas solares presente el Sol, es mayor la posibilidad de que ocurra una tormenta solar.

Estamos acercándonos al mínimo de manchas solares del ciclo 24.



El número de Wolf es un valor que permite evaluar numéricamente la actividad solar mediante el conteo de manchas solares ubicadas sobre la superficie del Sol. Este se calcula a partir de la fórmula desarrollada por Rudolf Wolf en 1849:

$$W=k(10+G+F)$$

Donde:

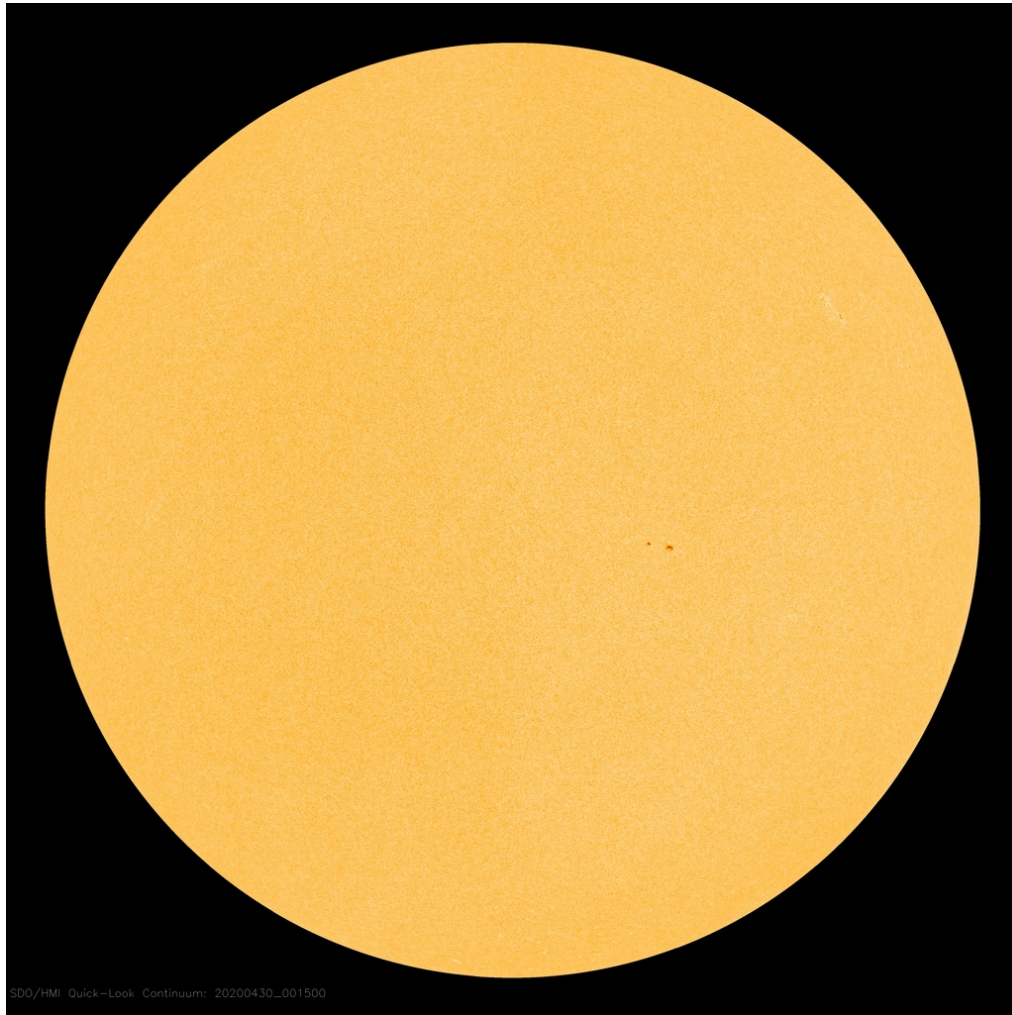
K= Es un factor de corrección que depende de cada observatorio.

F= Cantidad total de manchas solares visibles sobre el disco solar.

G= Cantidad de grupos manchas solares visibles sobre el disco solar.

Número de Wolf esta semana: **0**

Actividad solar: **Baja**



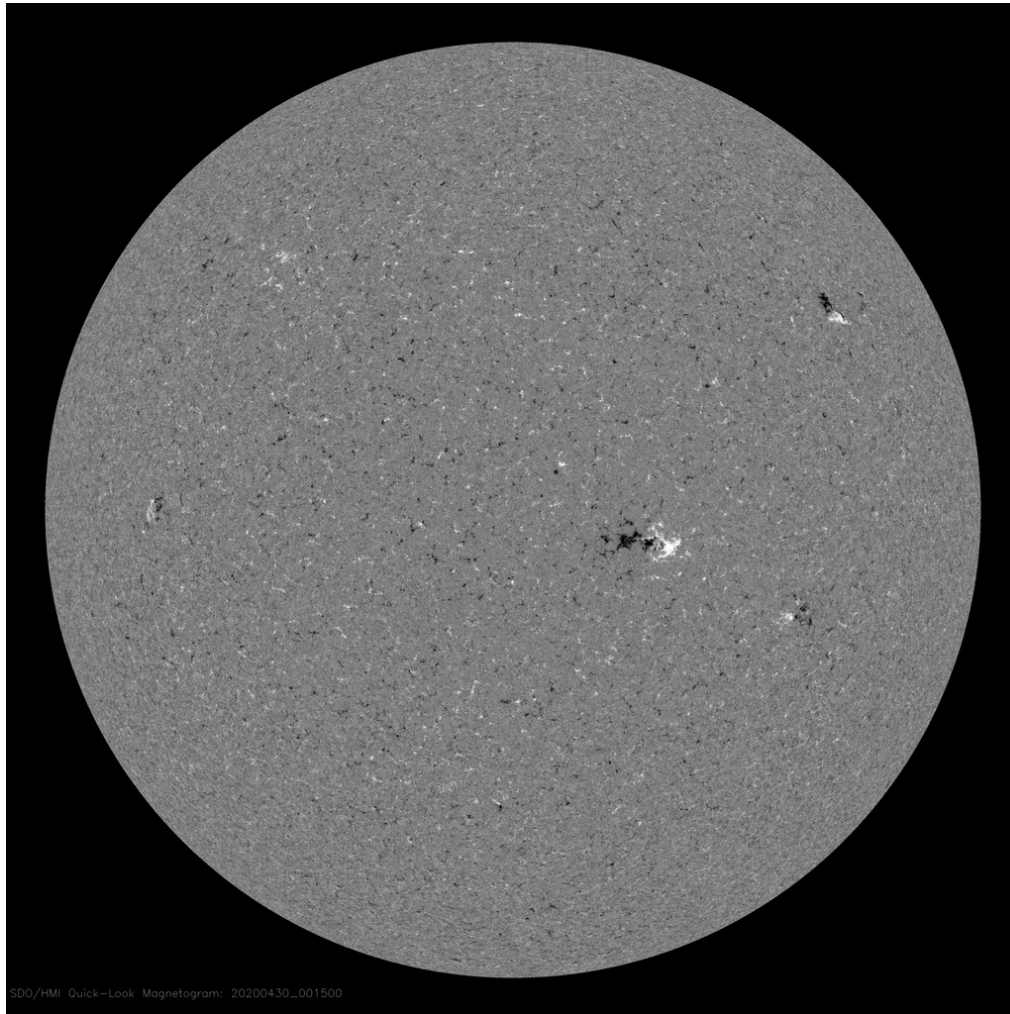
SDO/HMI Quick-look Continuum: 20200430_001500

<http://sdo.gsfc.nasa.gov/>

La fotosfera es la zona “superficial” del Sol, donde aparecen las manchas solares. Regiones oscuras formadas por material más frío que sus alrededores y que contienen intensos campos magnéticos. Las manchas solares están relacionadas con la actividad solar.

El Sol hoy:

Muestra dos manchas cerca de la parte central del disco.



SDO/HMI Quick-Look Magnetogram: 20200430_001500

<http://sdo.gsfc.nasa.gov/>

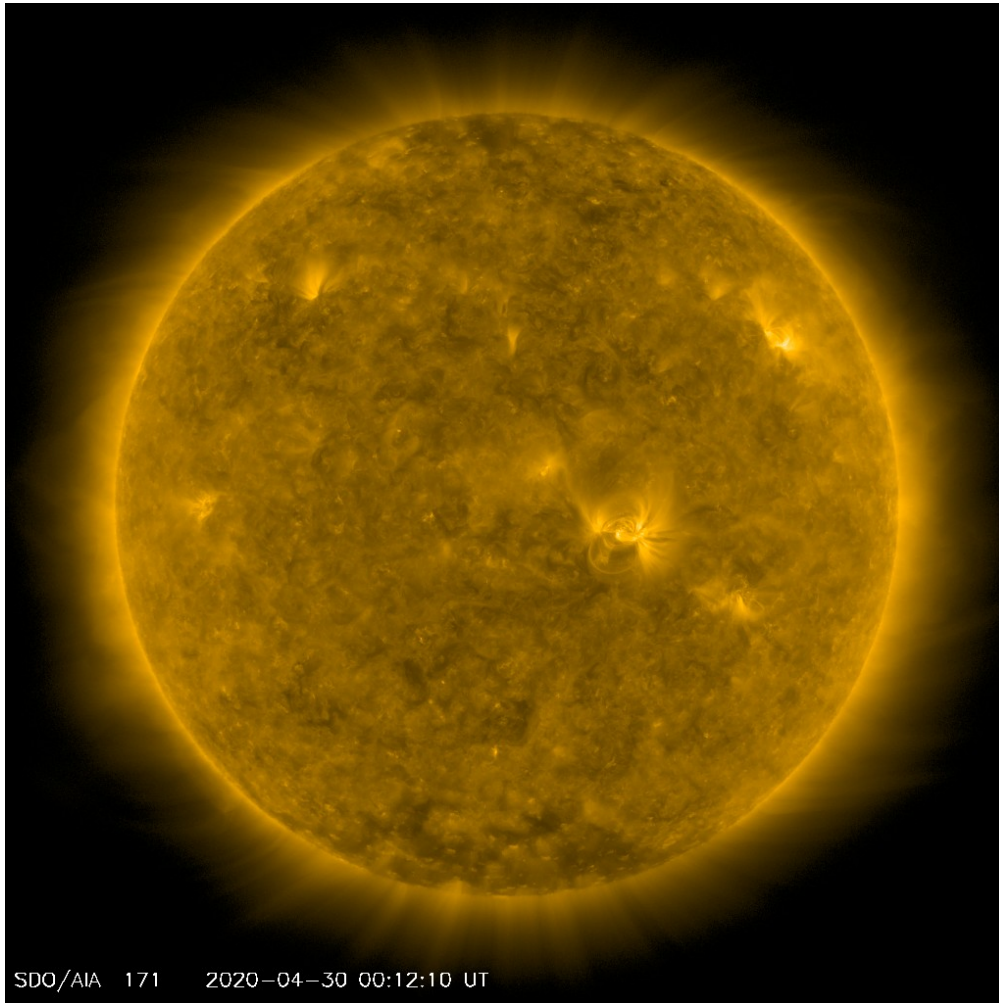
Un magnetograma solar permite identificar las regiones de intensos campos magnéticos solares. En general, estos campos magnéticos están asociados a manchas solares.

Las regiones de color blanco (negro) son zonas por donde surgen (sumergen) líneas de campo magnético, correspondientes a polaridad positiva (negativa).

El Sol hoy:

Muestra cuatro regiones de campo magnético intenso, la más intensa se encuentra cerca de la parte central del disco.

Atmósfera solar y regiones activas



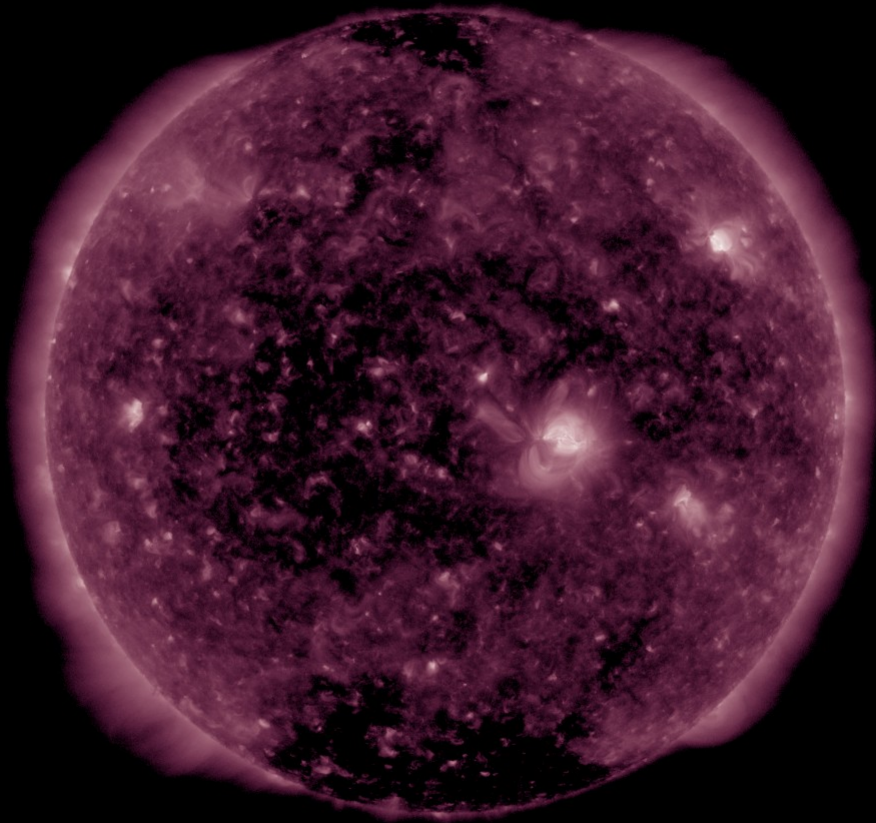
<http://sdo.gsfc.nasa.gov/>

El Sol en rayos X suaves (171 Å). La emisión de Fe IX y X revela la estructura magnética en la región de la atmósfera solar llamada corona solar que se encuentra a 630,000 K.

Las regiones activas (zonas claras) son los lugares donde se presentan los fenómenos de actividad solar más importantes. Las regiones activas están regularmente asociadas a las manchas solares.

El Sol hoy:

Muestra varias regiones activas sobre el disco, de las cuales se destacan: AR12760 (cerca del centro del disco), AR12761 (parte inferior del limbo este), y AR12762 (parte superior del limbo este).



SDO/AIA 211 2020-04-30 00:09:47 UT

<http://sdo.gsfc.nasa.gov/>

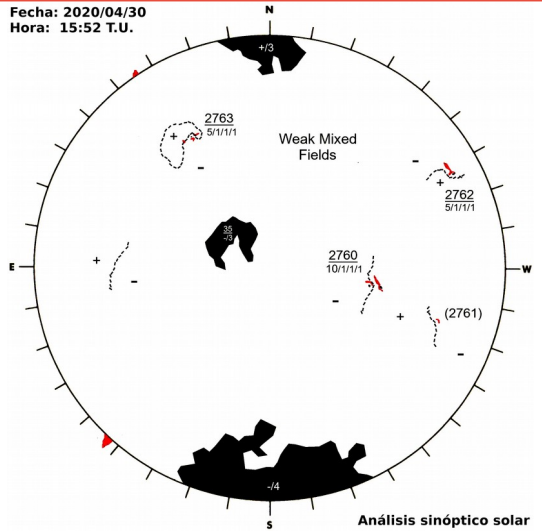
El Sol en rayos X suaves (211 Å). La emisión de Fe XIV revela la estructura magnética en la alta corona que se encuentra a 2,000,000 K.

Los hoyos coronales (regiones oscuras) son regiones de campo magnético solar localmente abierto. Los hoyos coronales son fuente de las corrientes de viento solar rápido.

El Sol hoy:

Muestra hoyos coronales en los polos y otros menores sobre el disco.

Medio interplanetario: Región de interacción de viento solar



Del 24 al 30 de abril no se registró región de interacción alguna (ver imagen 3). Actualmente se observa un hoyo coronal de polaridad negativa localizado en latitudes bajas en el disco solar (imagen 1) el cual puede generar una región de interacción en los próximos días. En la imagen 2 (área sombreada en amarillo) vemos la hoja de corriente sobre el plano de la eclíptica.

Imagen 1: ftp://ftp.swpc.noaa.gov/pub/synoptic_maps/

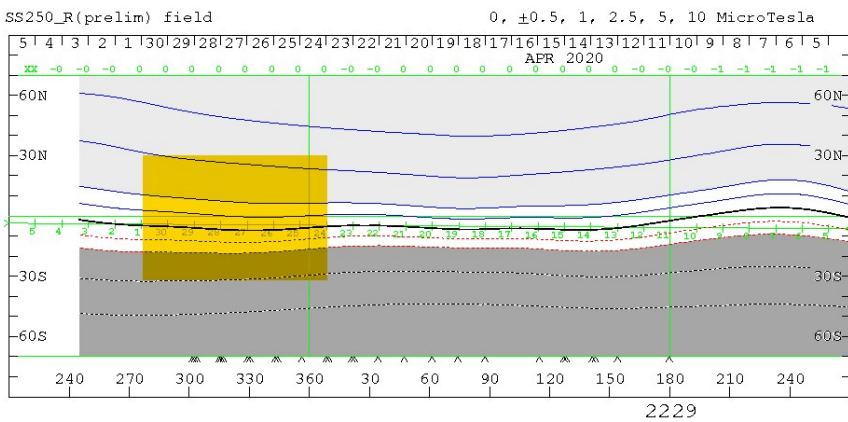


Imagen 2: <http://wso.stanford.edu/SYNOP/>

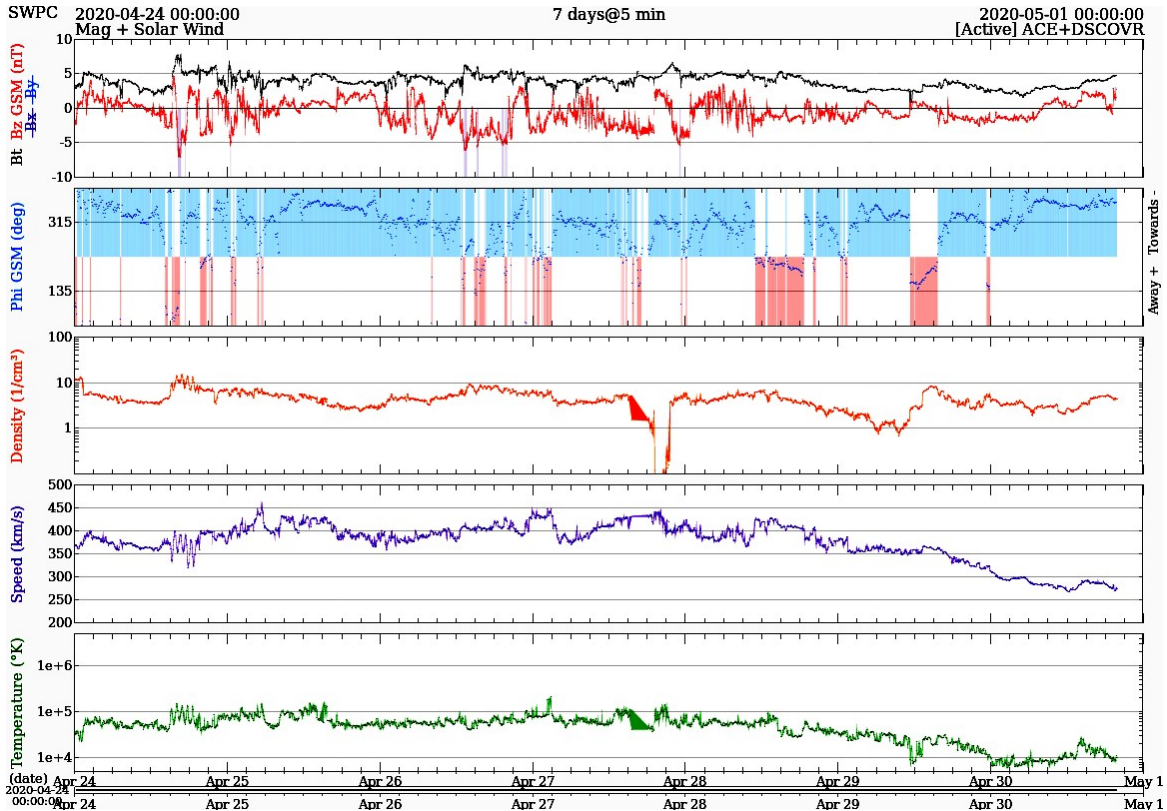


Imagen 3: <http://www.swpc.noaa.gov/products/real-time-solar-wind>

Eyecciones de Masa Coronal (EMCs): **LANC** *observación de coronógrafos*

Servicio Clima Espacial

>> Abril 29, 7:48 h(+)

- EMC lenta, observada por SOHO/LASCO C2 y C3.

-Origen en la Región Activa 12761 (S18° O38°).

-Posibles efectos, de ligeros a moderados, en el entorno geomagnético.

Velocidad ^(*)	275 km/s
Posición angular	273°
Ancho angular	60°

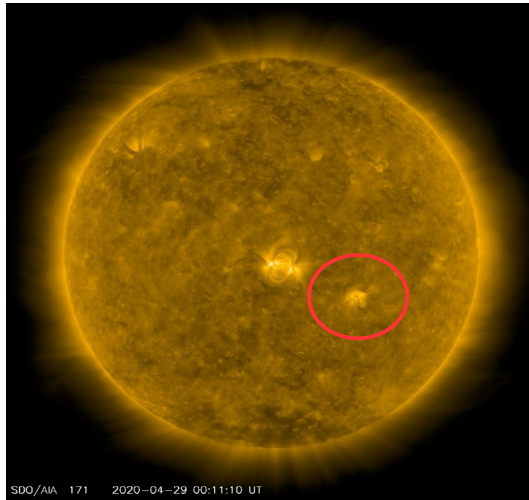
(*)Valores estimados sobre la proyección en el plano del cielo y no en la dirección Sol-Tierra.

(+)Tiempo de inicio de la observación.

Relevancia

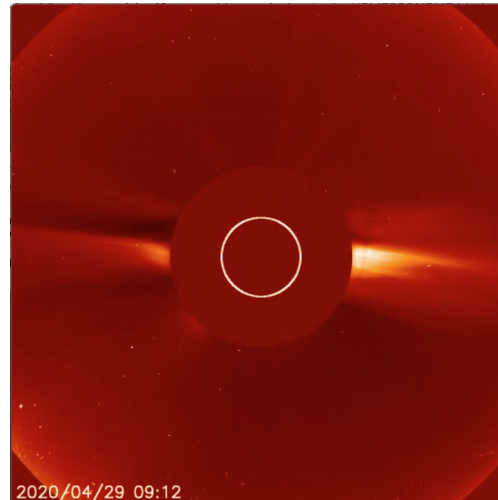
*Eventos eruptivos solares de gran escala asociados a las tormentas geomagnéticas.

SDO / AIA 171 A



SDO/AIA 171 2020-04-29 00:11:10 UT

SOHO / LASCO C2



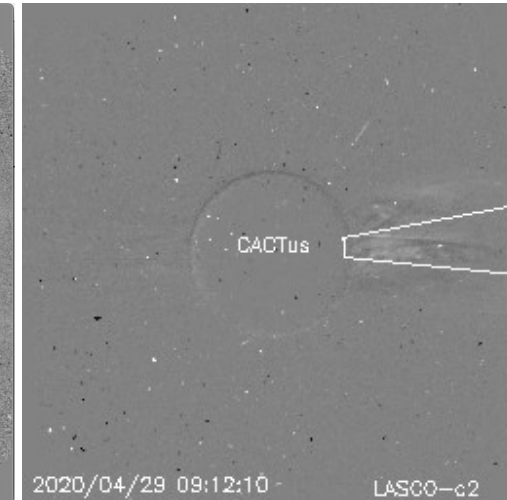
2020/04/29 09:12

Diferencia de imágenes



2020/04/29 09:12

CACTUS



2020/04/29 09:12:10

LASCO-c2

Crédito imágenes y valores estimados:

SOHO, the Solar & Heliospheric Observatory

SDO, Solar Dynamic Observatory

CACTus CME catalog. SIDC at the Royal Observatory of Belgium

Jheliovierer, ESA/NASA Helioviewer Project .

Medio interplanetario: El viento solar cercano a la Tierra

Modelo numérico WSA-ENLIL.

El modelo pronostica un ambiente solar terrestre dominado por corrientes de viento solar promedio con velocidades entre 300 y 400 km/s. La densidad no presentará incrementos significativos. No pronostica la llegada de alguna EMC para los próximos días.

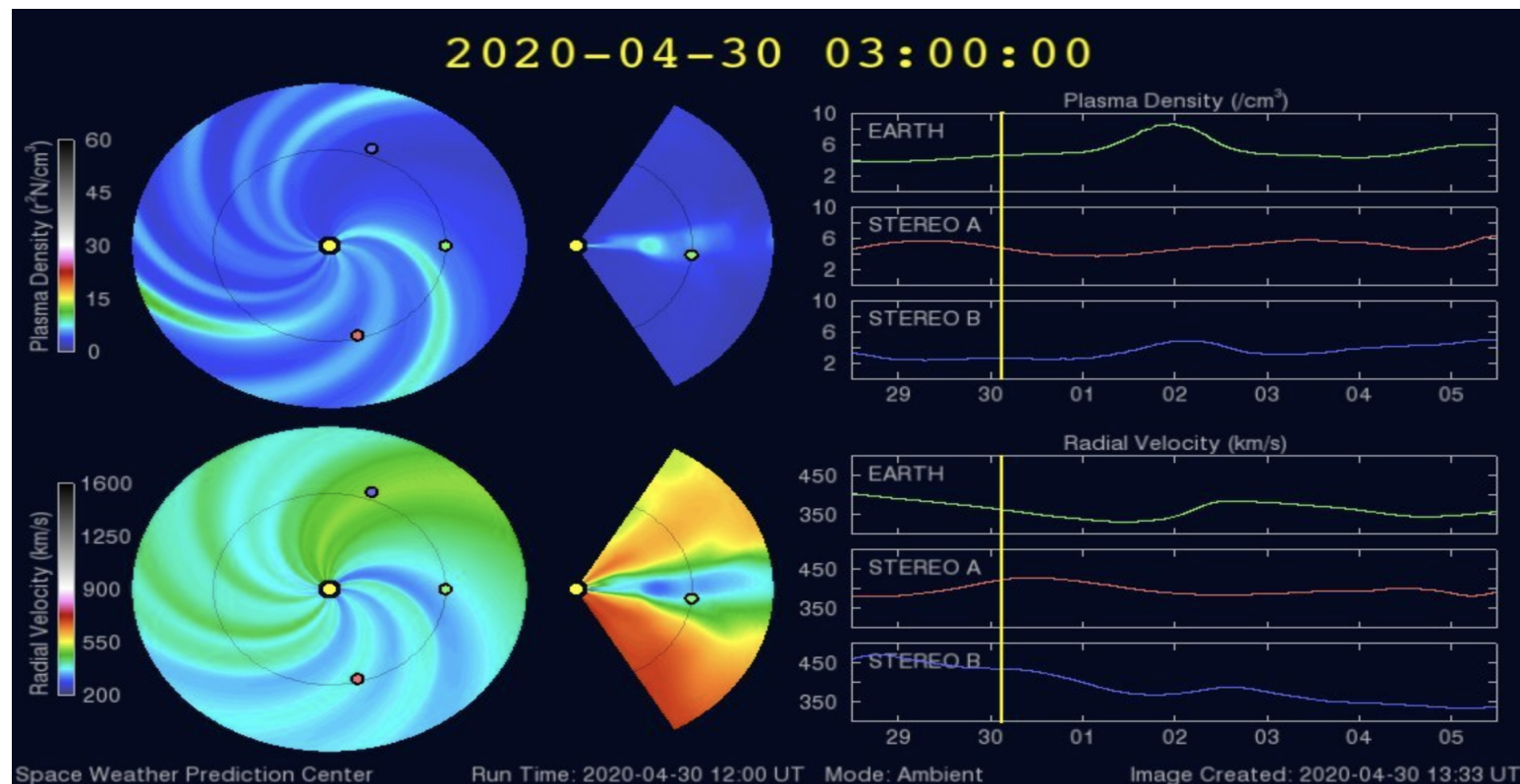
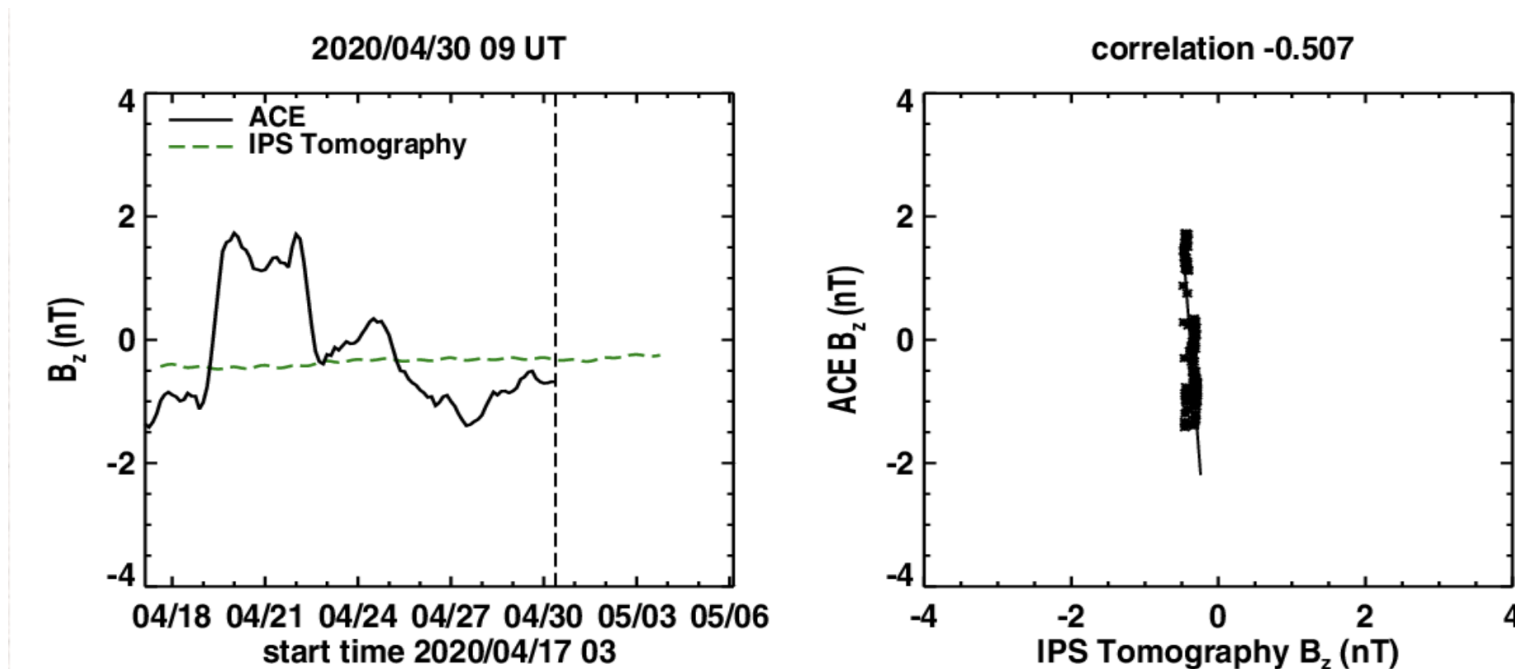


Imagen: <http://www.swpc.noaa.gov/products/wsa-enlil-solar-wind-prediction>

Medio interplanetario: El viento solar cercano a la Tierra

Pronóstico de la componente B_z del viento solar cercano a la Tierra usando la tomografía con datos IPS.



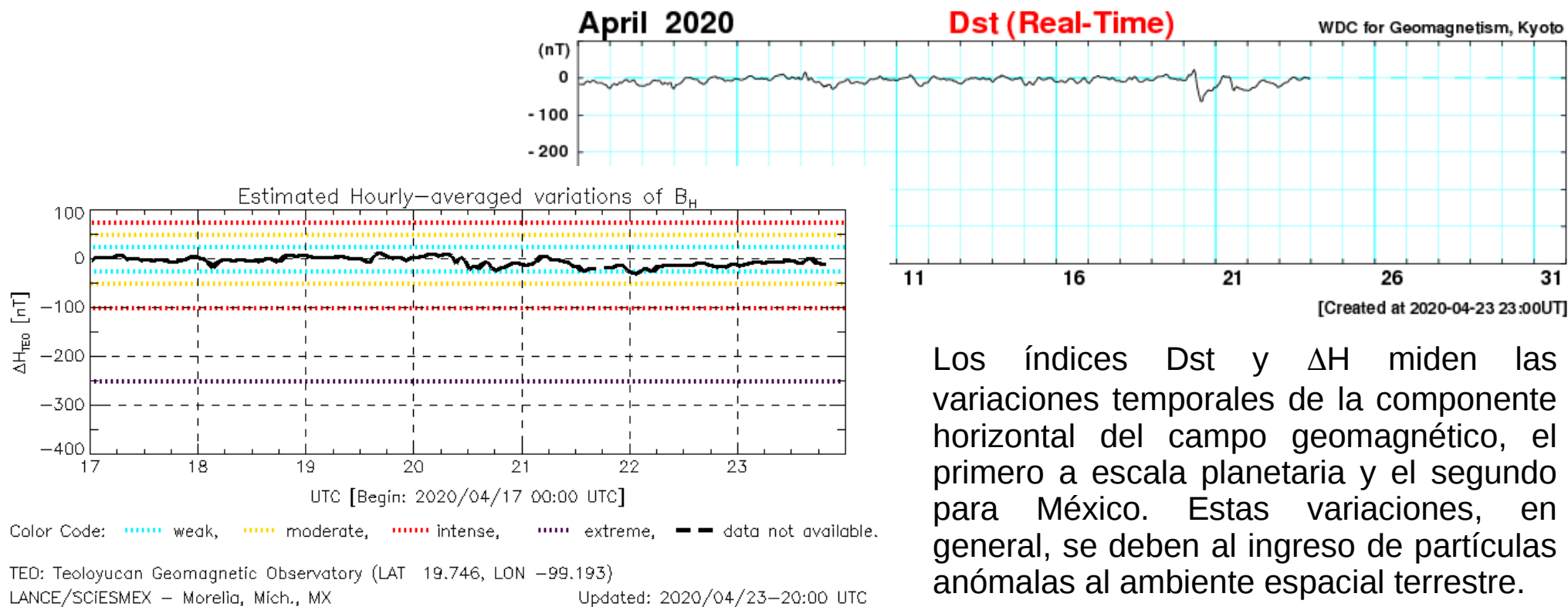
(Izquierda) Se pronostica una componente B_z negativa. **(Derecha)** La comparación con las observaciones del Advanced Composition Explorer (ACE) no indican una correlación en el último pronóstico.

Imagen: http://ips.ucsd.edu/high_resolution_predictions

Perturbaciones geomagnéticas: Índice Dst y ΔH

Fue una semana quieta. No se registraron alteraciones significativas en los índices Dst y ΔH .

Imagen: http://wdc.kugi.kyoto-u.ac.jp/dst_realtime/presentmonth/index.html



Los índices Dst y ΔH miden las variaciones temporales de la componente horizontal del campo geomagnético, el primero a escala planetaria y el segundo para México. Estas variaciones, en general, se deben al ingreso de partículas anómalas al ambiente espacial terrestre.

Ionósfera sobre México: TEC en el centro del país (datos

El contenido total de electrones (TEC) es un parámetro que sirve para caracterizar el estado de la ionosfera de la Tierra.

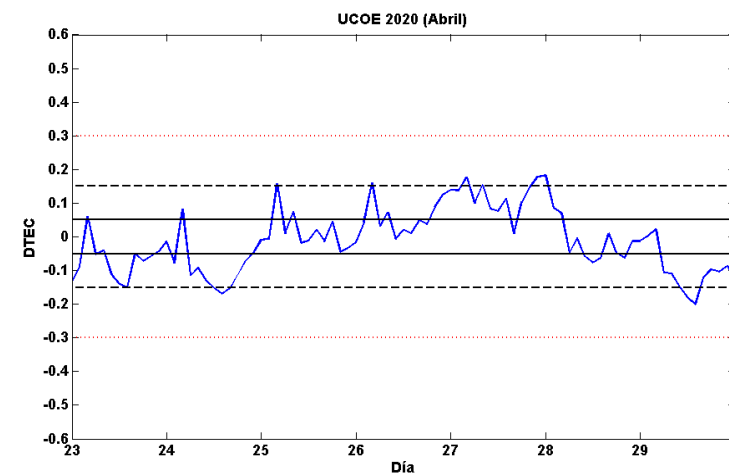
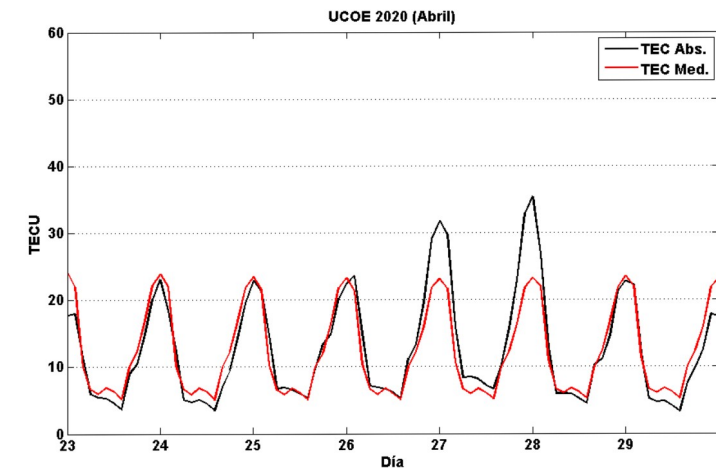
Serie temporal de los valores de TEC (negro) con referencia a su valor mediano (rojo) durante 23.04-29.04.2020 con base en los datos de la estación local UCOE (TLALOCNet, UNAVCO) en las instalaciones del Mexart.

Desviación de TEC de su mediana de los 27 días anteriores al día de observación con base en los datos de la misma estación.

Según los datos locales, no se observaron variaciones significativas de TEC esta semana.

El cálculo se realiza en base de TayAbsTEC software del Instituto de Física Solar-Terrestre, Sección Siberiana de la Academia de Ciencias de Rusia. Referencia: Yasyukevich et al., Influence of GPS/GLONASS Differential Code Biases on the Determination Accuracy of the Absolute Total Electron Content in the Ionosphere, Geomagn. and Aeron., ISSN 0016_7932, 2015.

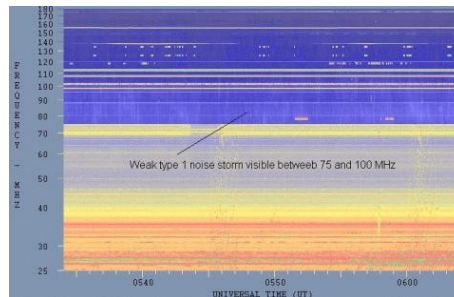
Referencia: Gulyaeva et al., GIM-TEC adaptive ionospheric weather assessment and forecast system. doi:10.1016/j.jastp.2013.06.011, 2013.



Tipos de estallidos de radio solares

Tipo I: Estallidos cortos y banda de emisión estrecha. Ocurren en un gran número sobre un continuo de emisión. Duración de 1 s y en tormenta de horas a días.

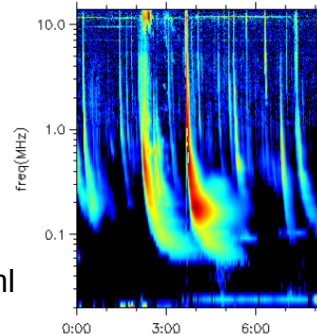
Se asocian con regiones activas, fulguraciones y protuberancias eruptivas



spaceacademy.net.au/env/sol/solradp/solradp.htm

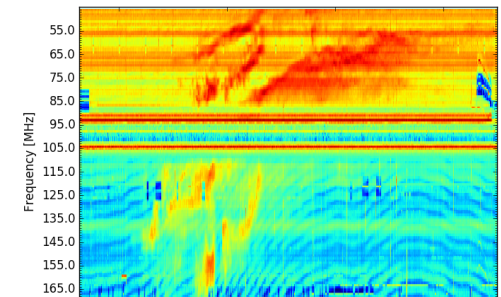
Tipo III: Estallidos de deriva rápida, con duración de pocos segundos en el rango métrico. Tienen anchos de emisión amplios. Son producidos en fulguraciones donde son expulsados a velocidades relativistas.

Se pueden presentar también como tormentas de estallidos.



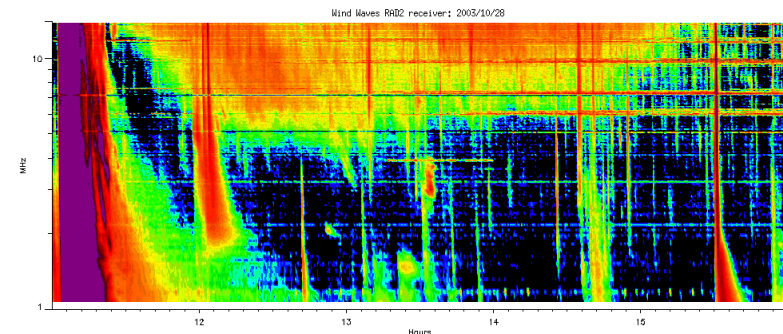
ssed.gsfc.nasa.gov/waves/data_products.html

Tipo II: Estallidos de deriva lenta. Son la firma de ondas de choque, producidas por fulguraciones o EMCs, que se propagan cerca del Sol y medio interplanetario. Presentan anchos de de emisión estrechos que derivan a frecuencias menores.



www.rice.unam.mx/callisto

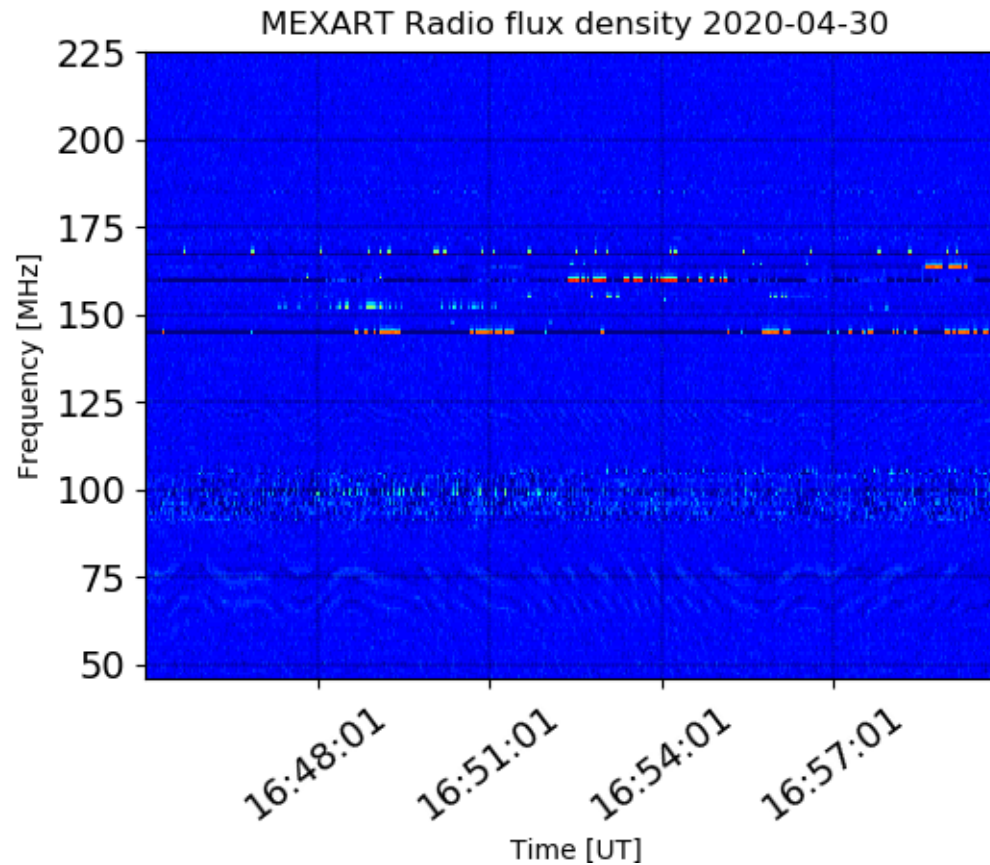
Tipo IV: Se relacionan con fulguraciones, tienen anchos de banda amplios y pueden durar horas.



https://ssed.gsfc.nasa.gov/waves/data_products.html

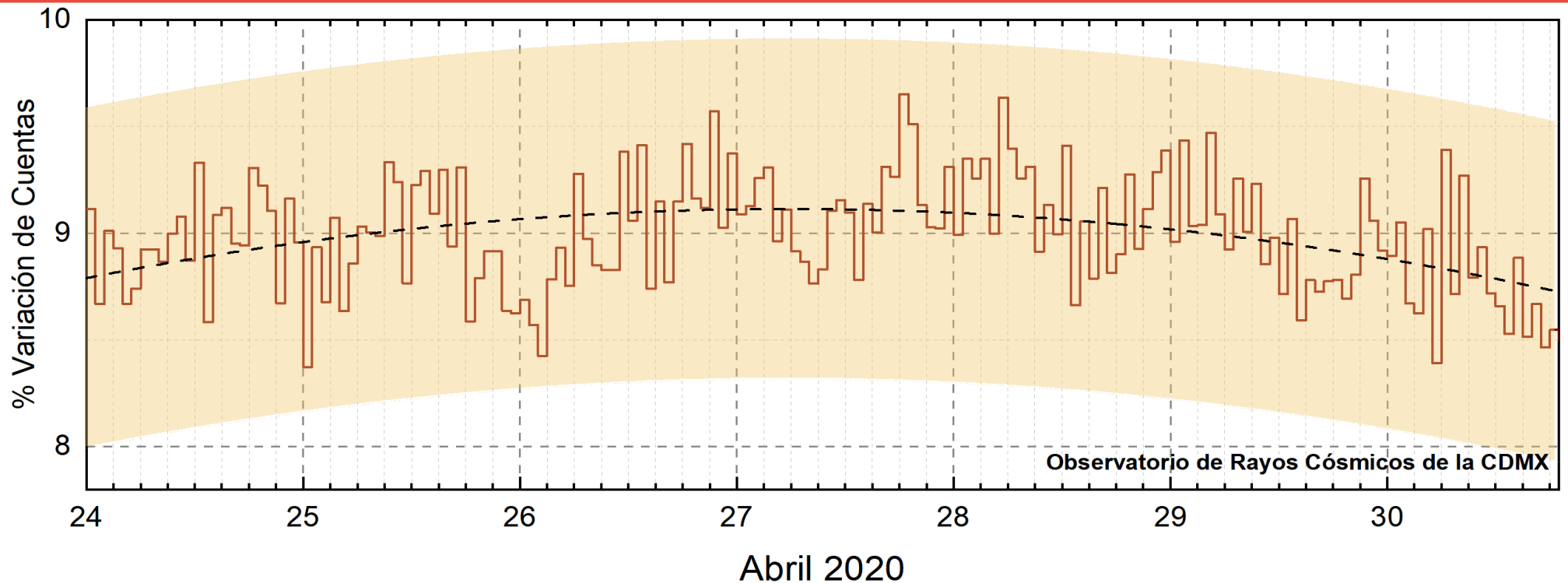
Estallidos de radio solares: Observaciones de Callisto-MEXART

Callisto-MEXART no detectó estallidos de radio solares esta semana.



- <http://www.rice.unam.mx/callisto/lightcurve/2020/04>

Rayos Cósmicos:



<http://www.cosmicrays.unam.mx/>

Datos registrados por el Observatorio de Rayos Cósmicos de la Ciudad de México. La curva discontinua negra representa el promedio de los datos registrados, el área coloreada en amarillo representa la significación de los datos ($\pm 3\sigma$). Cuando se registran variaciones que salen del área, es probable que éstas sean atribuidas a efectos de emisiones solares en el flujo de rayos cósmicos.

Del 24 al 30 de abril de 2020, no se detectaron incrementos significativos ($>3\sigma$) en las cuentas de rayos cósmicos.

UNAM/LANCE/SCiESMEX

Dr. J. Américo González Esparza

Dr. Pedro Corona Romero

Dra. Maria Sergeeva

Dr. Julio C. Mejía Ambriz

Dr. Luis Xavier González Méndez

Dr. José Juan González Avilés

Ing. Ernesto Andrade Mascote

M.C. Pablo Villanueva Hernández

Ing. Adan Espinosa Jiménez

Ing. Juan Luis Godoy Hernández

Dr. Ernesto Aguilar-Rodriguez

Dra. Verónica Ontiveros

Dra. Tania Oyuki Chang Martínez

Ing. Juan José D'Aquino

M.C. Víctor José Gatica Acevedo

UNAM ENES-Morelia

Dr. Mario Rodríguez Martínez

Dr. Víctor De la Luz Rodríguez

Lic. Shaden Saray Hernández Anaya

M.C. Raúl Gutiérrez Zalapa

Rafael Zavala Molina

UNAM/PCT

Lic. Elizandro Huipe Domratcheva

M.C. Víctor Hugo Méndez Bedolla

M.C. Elsa Sánchez García

UANL/LANCE

Dr. Eduardo Pérez Tijerina

Dr. Enrique Pérez León

Dr. Carlos de Meneses Junior

Dra. Esmeralda Romero Hernández

UNAM/IGF/RAYOS CÓSMICOS

Dr. José Francisco Valdés Galicia

Fis. Alejandro Hurtado Pizano

Ing. Octavio Musalem Clemente

SERVICIO MAGNÉTICO

M.C. Esteban Hernández Quintero

M.C. Gerardo Cifuentes Nava

Dra. Ana Caccavari Garza

CPCET/SAET-IPN

- Ing. Julio Cesar Villagran Orihuela
- Miguel Daniel Gonzalez Arias
- Carlos Escamilla Leon
- Jessica Juarez Velarde
- Pablo Romero Minchaca
- Eric Bañuelos Gordillo
- Alfonso Ivan Verduzco Torres
- Alain Miron Velazquez
- Christian Armando Ayala Lopez
- Katia Lisset Ibarra Sanchez
- Angel Alfonso Valdovinos Córdoba

Elaboración: Equipo SCiESMEX

Revisión: Ernesto Aguilar Rodríguez

Agradecimientos

El Laboratorio Nacional de Clima Espacial (LANCE) es parcialmente financiado por: el programa Cátedras CONACYT Proyecto 1045 y el Fondo Sectorial AEM-CONACYT proyecto 2014-01-247722. Agradecemos al proyecto Conacyt - Repositorio Institucional de Clima Espacial 268273. Agradecemos a todos los responsables y colaboradores de instrumentos del LANCE y a las redes de estaciones GPS del Servicio Sismológico Nacional y TalocNET por facilitar sus datos. Agradecemos a Gerardo Cifuentes, Esteban Hernández y Ana Caccavari por los datos del Observatorio magnético de Teoloyucan. De igual forma, agradecemos los servicios de IGS (International GNSS Service) por permitirnos usar los datos IONEX disponibles en: <ftp://cddis.gsfc.nasa.gov/pub/gps/products/ionex>. Los valores de TEC fueron obtenidos a partir de observaciones de las redes GPS del Servicio Sismológico Nacional (SSN), SSN-TLALOCNet y TLALOCNet del Servicio de Geodesia Satelital (SGS). Agradecemos al personal del SSN y del SGS por el mantenimiento de estaciones, la adquisición de datos y el soporte de IT de estas redes. Las operaciones de la red TLALOCNet y SSN-TLALOCNet GPS han sido apoyadas por The National Science Foundation bajo el proyecto EAR-1338091 a UNAVCO Inc., los proyectos CONACyT 253760 y 256012 y los proyectos UNAM-PAPIIT IN109315-3 y IN104818-3 de E. Cabral-Cano y el proyecto UNAM-PAPIIT IN111509 de R. Pérez. De igual forma agradecemos a los proyectos de infraestructura del CONACyT: 253691 y del PAPIIT-DGAPA: IA107116 para el fortalecimiento de equipos como la estación fija de GPS, que forman parte del LACIGE-UNAM, de la ENES unidad Morelia a cargo de M. Rodriguez-Martinez. El cálculo de TEC se realiza: 1) utilizando el software US-TEC que es un producto de operación del Space Weather Prediction Center (SWPC), desarrollado a través de una colaboración entre National Geodetic Survey, National Oceanic and Atmospheric Administration (NOAA) y el Cooperative Institute for Research in Environmental Sciences of the University of Boulder, Colorado, 2) con base en el software TayAbsTEC del Instituto de Física Solar-Terrestre, Sección Siberiana de la Academia de Ciencias Rusa. Parte del procesamiento de datos se lleva a cabo dentro del Centro de Supercómputo de Clima Espacial (CESCOM) del LANCE. Así mismo agradecemos al Space Weather Forecasting Center for Astrophysics & Space Research de la University of California in San Diego y al Korean Space Weather Center por los datos de pronóstico para los modelos WSA-ENLIL y los mapas tomográficos por IPS. Agradecemos a la red e-callisto por los datos proporcionados de espectros electromagnéticos dinámicos de la red internacional de registro de evento de radio solares.

Datos:

Imágenes de coronógrafo, flujo de rayos X y modelo WSA-ENLIL:

<http://www.swpc.noaa.gov/products>

<http://iswa.ccmc.gsfc.nasa.gov/lswaSystemWebApp/>

Imágenes de coronógrafo:

<http://sohowww.nascom.nasa.gov/data/>

Imágenes del disco solar y de la fulguración:

<http://www.solarmonitor.org/>

Detección y caracterización de EMCs:

<http://www.sidc.oma.be/cactus/out/latestCMEs.html>

<http://spaceweather.gmu.edu/seeds/>

ISES:

<http://www.spaceweather.org/>

International Network of Solar Radio Spectrometers (e-callisto):

<http://www.e-callisto.org/>

German Research Center For Geociencias Postdam:

<http://www.gfz-potsdam.de/en/sektion/erdmagnetfeld/daten-dienste/kp-index/>

Data Analysis Center for Geomagnetism and Space Magnetism, Kyoto University:

<http://wdc.kugi.kyoto-u.ac.jp/index.html>

UNAVCO:

<http://www.unavco.org>

SSN:

<http://www.sismologico.unam.mx/>

SOHO Spacecraft NASA:

<http://sohowww.nascom.nasa.gov/>

SDO Spacecraft NASA:

<http://sdo.gsfc.nasa.gov/>

Space Weather Prediction Center NOAA:

<http://www.swpc.noaa.gov>

GOES Spacecraft NOAA:

<http://www.ngdc.noaa.gov/stp/satellite/goes/index.html>

ACE Spacecraft NOAA

<http://www.srl.caltech.edu/ACE/ASC/index.html>